

Temperature effect on the refractive indices and Kerr constant of doped nematic liquid crystals with right-handed dopants

Mahsa Khadem Sadigh*

Department of Laser and Optical Engineering, University of Bonab, Bonab, Iran

Received: 05.04.2023 Final revised: 11.10.2023 Accepted: 27.11.2023

Doi: [10.22055/jrmbs.2024.18895](https://doi.org/10.22055/jrmbs.2024.18895)

Abstract

Liquid crystals with high optical and electro-optical responses play an important role in optics and photonics. Therefore, providing a simple method to increase the optical behavior of liquid crystals under the influence of external fields can be considered one of the most challenging research areas. In this experimental work, the effects of temperature and right-handed chiral material with different weight percentages on the refractive indices and optical properties of E7 nematic liquid crystal under the influence of an external electric field were investigated. Despite the reduction of the Kerr constant with increasing the weight percentage of chiral dopants and temperature, the highest amount of optical response in the presence of the electric field was obtained for the nematic liquid crystal doped with 3% of right-handed material. In this case, the value of the Kerr constant is almost 2 times that of pure liquid crystal. This interesting result can be related to the order parameter changes caused by different molecular interactions. Thus, the results obtained in this research can be used as a simple method to increase the optical response of nematic liquid crystals in the presence of an external electric field.

Keywords: Chiral, Electric Field, Kerr Constant, Liquid Crystal, Refractive Index, Temperature

* Corresponding Author: mahsa.sadigh@ubonab.ac.ir

اثرات دما بر روی ضرایب شکست و ثابت کر بلورمایع نماتیک آلائیده شده با مواد راستگرد

مهسا خادم صدیق*

مهندسی اپتیک و لیزر، دانشگاه بناب، بناب، ایران

دریافت: ۱۴۰۲/۰۱/۱۶ ویرایش نهایی: ۱۴۰۲/۰۷/۱۹ پذیرش: ۱۴۰۲/۰۹/۰۶

Doi: [10.22055/jrmbs.2024.18895](https://doi.org/10.22055/jrmbs.2024.18895)

چکیده

بلورمایع‌ها با پاسخ‌های نوری و الکترواپتیکی بالا نقش مهمی در اپتیک و فوتونیک دارند. از این‌رو، ارائه روشی ساده برای افزایش رفتارهای نوری بلورمایع‌ها تحت تأثیر میدان‌های خارجی را می‌توان یکی از چالش برانگیزترین حوزه‌های پژوهشی دانست. در این کار تجربی، اثرات دما و ماده کایرال راستگرد با درصدهای وزنی مختلف بر روی ضرایب شکست و خواص نوری بلورمایع نماتیک E7 تحت اعمال میدان خارجی مورد بررسی و مطالعه قرار گرفت. علیرغم کاهش ثابت کر با افزایش درصد وزنی آلائیده‌های کایرال و دما، بیشترین مقدار پاسخ نوری در حضور میدان الکتریکی برای بلورمایع نماتیک آلائیده شده با ۳٪ از ماده راستگرد به دست آمد. در این حالت مقدار ثابت کر تقریباً ۲ برابر نمونه بلورمایع خالص است. این نتیجه جالب می‌تواند مربوط به تغییرات پارامتر نظم ناشی از برهمنکش‌های مختلف مولکولی باشد. بدین ترتیب نتایج به دست آمده در این پژوهش می‌تواند به عنوان روشی ساده به منظور افزایش پاسخ نوری بلورمایع‌های نماتیک در حضور میدان الکتریکی خارجی مورد استفاده قرار گیرد.

کلیدواژگان: بلورمایع، ثابت کر، دما، کایرال، میدان الکتریکی

نسبتاً ساده‌تر بیشتر مورد بررسی و آزمایش قرار می‌گیرند. در این حالت ویژگی‌های فیزیکی بلورمایع‌های نماتیک مانند دوشکستی و قطبش‌پذیری می‌تواند تحت تأثیر برخی از عوامل خارجی مانند شدت میدان اعمالی و دما قرار گیرد. از این‌رو، مطالعات بر روی ویژگی‌های بلورمایع‌ها در اطراف دمای گذار می‌تواند شامل اطلاعات ارزشمندی جهت طراحی ادوات اپتیکی و فوتونیکی باشد.

به منظور بهبود ویژگی‌های الکترواپتیکی در بسیاری از ابزارهای اپتوالکترونیکی طراحی شده بر اساس بلورمایع‌ها، انواع مختلفی از بلورمایع‌ها به‌طور خالص و آلائیده شده با گروه‌های دیگری از مواد نوری مورد

مقدمه

بلورمایع‌ها با فاز میانی بین جامدات و مایعات معمولی بیش از یک قرن سابقه دارند. اولین مشاهده رفتار بلورمایعی توسط یک گیاه شناس اتریشی در سال ۱۸۸۸ میلادی صورت گرفت. از آن زمان بعد بلورمایع‌ها به عنوان یکی از شاخه‌های اصلی علم مورد توجه قرار گرفته‌اند. این گروه از مواد یک موقعیت کلیدی در زندگی مدرن را اشغال می‌کنند و به طور گسترده در نمایشگرها [۱-۳]، سنسورها [۴-۵] و عدسی‌ها [۶]، فیلترها [۷] و پنجره‌های هوشمند [۸-۱۰] مورد استفاده قرار می‌گیرند. از میان انواع مختلف بلورمایع‌ها، نماتیک‌ها با ساختار مولکولی

mahsa.sadigh@ubonab.ac.ir*

باز نشر این مقاله با ذکر منبع آزاد است.

این مقاله تحت مجوز کریتبو کامنز تخصیص ۴.۰ (BN) می‌باشد.



مواد و روش‌ها

در این کار تجربی بلورمایع نماتیک E7 و ماده کایرال راستگرد R-811 از شرکت مرک خریداری و مورد استفاده قرار گرفت. ساختار مولکولی مواد مورد مطالعه در شکل ۱ نشان داده شده است.

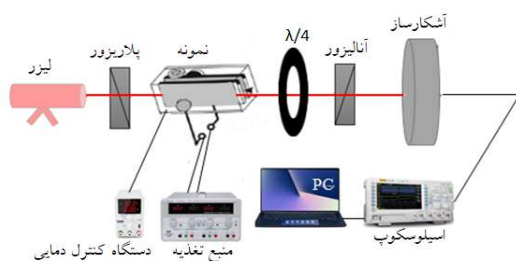
در این کار تجربی، بررسی پاسخ الکتروپاتیکی بلورمایع خالص E7 و آلائیده به مواد کایرال راستگرد با درصد های وزنی ۱٪، ۳٪، ۶٪، ۸٪ و ۱۰٪ در فاز همسانگرد انجام می شود. بهمین منظور یک میدان الکتریکی AC مربعی کم فرکانس (یک کیلو هرتز) از طریق دو الکترود فلزی به نمونه های مورد مطالعه اعمال گردید. اعمال چنین میدانی سبب جهتگیری مولکول های بلورمایع در فاز همسانگرد شده و به عبارتی یک حالت شبه نماتیکی با درجه ای از نظم جهتی ایجاد می نماید. به عبارت دیگر در حضور میدان خارجی، کمینه انرژی آزاد سیستم مربوط به حالت شبه نماتیکی و نه فاز همسانگرد خواهد بود. تأثیر اعمال این میدان خارجی می تواند بر روی گذار فاز همسانگرد به نماتیک بررسی شده و مطالعات جالبی را در خصوص رفتارهای الکتروپاتیکی محیط در نزدیکی و بالاتر از دمای گذار بلورمایع مورد مطالعه ارائه دهد.

در این کار تجربی برای اندازه گیری ثابت کر نمونه های مورد مطالعه، از روش تجربی شدت خنثی شده استفاده شده است [۲۰-۱۸]. اساس این روش بر پایه خنثی کردن پاسخ نوری حاصل از اعمال میدان الکتریکی خارجی به سلول کر مورد مطالعه به وسیله چرخش آنالیزور به کار رفته در آرایش تجربی نشان داده در شکل ۲ است. در این آرایش تجربی، سلول کر که حاوی بلورمایع مورد مطالعه است بین دو قطبشگر عمود بر هم قرار می گیرد به طوری که امتداد میدان الکتریکی اعمالی به نمونه در درون سلول تحت زاویه

استفاده قرار می گیرند. از دیدگاه ویژگی های اپتیکی، آلائیدن بلورمایع ها با انواع و غلظت های مختلف برخی از مواد به عنوان آلائینده و تحت تأثیر میدان های خارجی بهوضوح توجهات خاصی را می طلبد [۱۲-۱۱]. در این حالت علاوه بر ویژگی های نوری خطی، ویژگی های نوری غیرخطی نیز تحت تأثیر قرار می گیرد. تحت این شرایط، بلورمایع ها با ویژگی های فیزیکی منحصر به فرد می توانند در زمرة مواد نوری با پاسخ نوری غیرخطی بزرگ قرار گیرند. در حال حاضر روش های مختلفی مانند اختلاط چهار موج تبھگن [۱۳]، روش جاروب زد [۱۴-۱۶] و روش الکتروپاتیک کر [۱۷] جهت بررسی پاسخ نوری غیرخطی مواد نوری وجود دارد. از میان انواع روش های ذکر شده، روش الکتروپاتیک کر به عنوان روشی ساده و ارزان جهت اندازه گیری پاسخ نوری غیرخطی انواع مختلف بلورمایع ها می باشد. در حقیقت، این روش اطلاعات ارزشمندی در مورد دوشکستی القایی در نمونه مورد مطالعه تحت تأثیر میدان الکتریکی خارجی ارائه می دهد. بدین ترتیب با بررسی ویژگی های بلورمایع های خالص و آلائیده تحت تأثیر میدان های خارجی می توان روشی مناسب برای بهبود عملکرد ادوات اپتو الکترونیکی بر پایه بلورمایع ها ارائه نمود.

در این کار تجربی، ابتدا اثرات دما بر روی ضرایب شکست بلور مایع نماتیک خالص و آلائیده به مواد کایرال راستگرد مورد بررسی قرار می گیرد. سپس پاسخ نوری نمونه های تهیه شده تحت تأثیر میدان الکتریکی خارجی اعمالی بررسی می شود. بدین ترتیب نتایج به دست آمده می توانند به عنوان روشی ساده به منظور بهبود پاسخ نوری بلورمایع ها نماتیک تحت تأثیر میدان الکتریکی خارجی تلقی شود.

حالت چرخش آنالیزور توسط سیستم کنترل کننده آن در جهتی انجام می‌شود که سبب کاهش شدت نور رسیده به آشکارساز شده و پاسخ نوری محیط به‌این میدان خارجی را کاملاً خنثی نماید. بدین ترتیب می‌توان رفتار نمونه‌های مورد مطالعه را تحت تأثیر میدان الکتریکی اعمالی بررسی نمود.



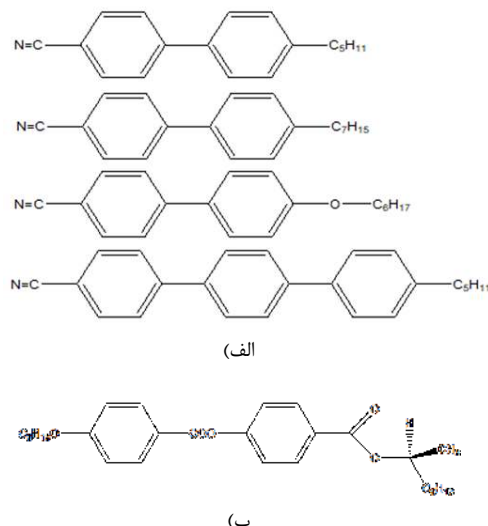
شکل ۲. چیدمان تجربی اثر کر.

همچنین دستگاه گرماسنجی روبشی تفاضلی (Shimadzu DSC-60) برای اندازه‌گیری دمای گذار نمونه‌های بلورمایع مورد استفاده گردید. رفرکتومتر آبه (Bellingham Stanley Abbe 60ED) متصل به سیستم کنترل دمایی نیز برای اندازه‌گیری ضرایب شکست نمونه‌های مورد مطالعه مورد استفاده قرار گرفت.

بحث و نتیجه‌گیری

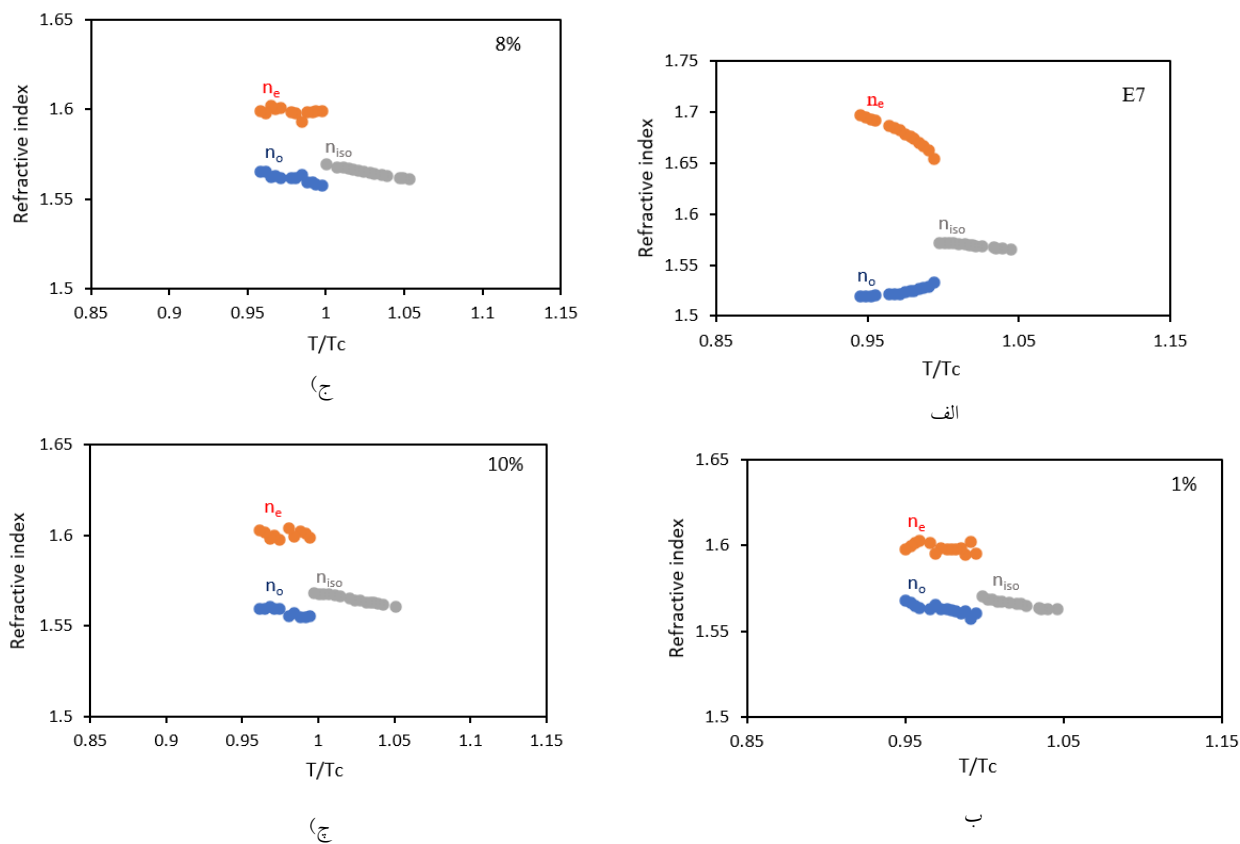
به‌منظور بررسی اثرات دمایی بر روی تغییرات ضرایب شکست بلورمایع‌های خالص و آلاینده، دمای گذار بلورمایع‌های خالص و آلاینده با استفاده از منحنی‌های به‌دست آمده از DSC مورد بررسی قرار گرفت. مطابق نتایج به‌دست آمده با افزایش درصد وزنی ماده راستگردد افزوده شده به بلورمایع نماتیک مورد مطالعه، دمای گذار کاهش می‌یابد. در این حالت، دمای گذار بلورمایع خالص و آلاینده با ۱٪، ۳٪، ۶٪، ۸٪، ۱۰٪ به ترتیب برابر است با $58/98^{\circ}\text{C}$ ، 59°C ، $57/35^{\circ}\text{C}$ ، $58/63^{\circ}\text{C}$ ، $53/49^{\circ}\text{C}$ و $54/59^{\circ}\text{C}$.

۴۵ درجه نسبت به امتداد قطبشی هر کدام از قطبشگرها باشد. نور لیزر کاوشنگر با توان ۵ میلی‌وات، پس از عبور از پلاریزور و سلول کر، از یک تیغه ربع موج عبور می‌نماید.



شکل ۱. ساختار شیمیایی (الف): بلورمایع E7 و (ب): ماده کایرال راستگرد R-811

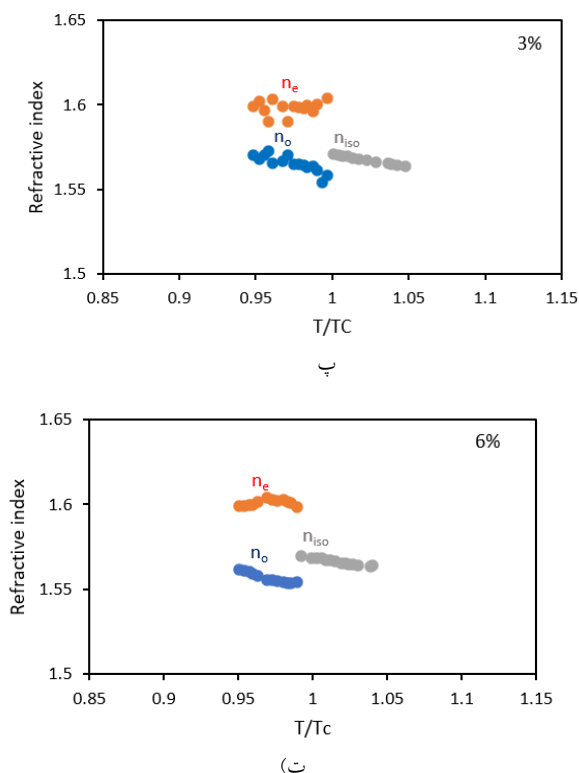
سپس نور خروجی از تیغه ربع موج از قطبشگر آنالیزور که در حالت کلی امتداد قطبشی آن عمود بر آنالیزور است، عبور کرده و به آشکارساز می‌رسد. چنانچه دمای نمونه مورد مطالعه را بالاتر از دمای گذار مربوطه تنظیم کنیم (با استفاده از دستگاه کنترل دمایی) و هیچ میدان الکتریکی نیز به نمونه اعمال نشده باشد، هیچ نوری از آنالیزور خارج و به آشکارساز نمی‌رسد. اما چنانچه میدان خارجی اعمال شود، به‌واسطه گشتاور نیرویی که به مولکول‌ها وارد می‌شود، جهتگیری معینی در مولکول‌ها القا شده و محیط نظمی شبکه‌نماتیکی به‌خود می‌گیرد که سبب ایجاد ناهمسانگردی و در نتیجه دوشکستی در محیط می‌شود. بدین ترتیب قطبش نور عوری از محیط بلورمایع تحت تأثیر این محیط دوشکستی قرار گرفته و شدت نور رسیده به آشکارساز تغییر می‌کند. در این



شکل ۳. تغییرات ضرایب شکست عادی و غیرعادی بلورمایع‌های آلائیده

با (الف): ۰٪ (حالص) و (ب): ۱٪، (پ): ۳٪، (ج): ۶٪ و (ت): ۱۰٪ از ماده کاپرال راستگرد.

در حالت کلی، بلورمایع‌ها، مایعاتی هستند که ضریب شکست آنها بهجهتگیری بردار الکتریکی موج نوری نسبت به محور نوری مایع جهت یافته بستگی دارد. چنین نامحسانگری آنها را از مایعاتی متمایز می‌کند که در آن دوشکستی فقط توسط میدان‌های خارجی قابل اعمال است. بنابراین می‌توان گفت یک بلورمایع نماتیک مشابه با یک کریستال دوشکستی تک محور عمل می‌کند. از این‌رو، محور نوری همیشه موازی بردار راهنمای در یک بلورمایع نماتیک می‌باشد. ضریب شکست برای یک پرتو نور قطبیده با بردار الکتریکی موازی با محور نوری، ضریب شکست پرتوهای غیرعادی یا به‌طور ساده ضریب شکست غیرعادی



در صدهای وزنی مختلف می‌تواند منجر به تغییر پای پیچ گردد. با توجه به اینکه اندازه‌گیری‌های مربوط به ثابت کر با استفاده از روش شدت خشی و در دماهای نزدیک به دمای گذار و دماهای بالاتر صورت گرفته است. بیشترین تأثیر بر روی رفتار الکتروپیتیکی بلورمایع خالص ناشی از افزودن آلاینده‌های کایرال می‌تواند ناشی از تغییرات ایجاد شده در نظم ساختاری بلورمایع به‌واسطه برهم‌کنش‌های بین مولکولی باشد. همان‌طوری که در شکل ۴ نشان داده شده است، علاوه بر دما، میزان ماده کایرال اضافه شده به بلورمایع خالص نیز نقش مهمی در تغییرات ضرایب شکست دارد. یک مقایسه بین ضرایب شکست بلورمایع نماتیک خالص و آلاینده با ماده کایرال راستگرد نشان می‌دهد که بلور مایع خالص دارای ضرایب شکست عادی و غیر عادی بزرگتری نسبت به نمونه‌های آلاینده شده می‌باشد. مطابق شکل ۴ با افزایش درصد وزنی ماده راستگرد به بلورمایع نماتیک مورد مطالعه، رفتار نامنظمی در دماهای نزدیک به دمای گذار مشاهده می‌شود. با افزایش درصد وزنی ماده راستگرد، ماکریم تغییرات ضریب شکست عادی (n_{U}) و مینیمم مقدار ضریب شکست غیر عادی (n_{E}) در بلورمایع آلاینده با ۳٪ وزنی از ماده راستگرد مشاهده گردید. در واقع این نوع بی‌نظمی در رفتار بلورمایع خالص با تغییر درصد وزنی ماده کایرال می‌تواند مربوط به اثرات متفاوت درصد وزنی ماده راستگرد بر روی نظم ساختاری بلورمایع نماتیک مورد مطالعه باشد. در این حالت با افزایش درصد وزنی ماده کایرال علاوه بر برهم‌کنش‌های بین مولکول‌های بلور مایع با یکدیگر، برهم‌کنش‌های بین مولکول‌های ماده کایرال و بلورمایع با یکدیگر نیز وجود خواهد داشت. به تدریج نیز با افزایش درصد وزنی برهم‌کنش‌های بین مولکول‌های ماده کایرال با یکدیگر نیز در رفتار بلور مایع مورد

(n_{E}) نامیده می‌شود. به طور مشابه، برای پرتو نوری با بردار الکتریکی عمود بر محور نوری، ضریب شکست عادی (n_{U}) را خواهیم داشت. یکی از پارامترهای تأثیرگذار بر روی چنین ویژگی از بلورمایع‌های مورد مطالعه اثرات دمایی می‌باشد. نتایج به دست آمده از اندازه‌گیری ضرایب شکست بلورمایع خالص و آلاینده (شکل ۳) نشان می‌دهد که ضرایب شکست عادی و غیر عادی در دماهای پایین‌تر از دمای گذار شدیداً وابسته به دما می‌باشد و با تغییر دما دو شکستی مثبت ($\Delta n = n_{\text{E}} - n_{\text{U}} > 0$) از خود نشان می‌دهند. با افزایش دما و در دماهای بالاتر از دمای گذار (در فاز همسانگرد)، وابستگی دمایی ضریب شکست به دما کاهش یافته، به‌طوری که میزان دو شکستی در فاز همسانگرد صفر می‌شود. در واقع در دماهای بالاتر از دماهای گذار نظم جهتی بلورمایع‌های نماتیک از بین می‌رود [۲۱].

هنگامی که یک آلاینده کایرال به بلورمایع نماتیک اضافه می‌شود، ساختار دستخوش یک اعوجاج مارپیچی می‌شود. فاصله‌ای را که در آن بردار راهنمای به اندازه ۳۶۰ درجه دوران می‌کند را پای پیچ می‌نامند. بنابراین بلورمایع‌های کلستریک (کایرال نماتیک‌ها) که از خانواده ترمومتروپیک بوده و دارای ساختاری مارپیچی هستند. این ساختار مارپیچی منجر به نمایش خواص اپتیکی منحصر به‌فردی که بر پایه بازتاب برآگ است، می‌شود و تغییرات پای پیچ، تغییرات این خواص را به همراه خواهد داشت. پای پیچ می‌تواند معمولاً با تغییر دما، اعمال ولتاژ و همچنین اضافه کردن مولکول‌هایی تغییر کند. بلورمایع‌های کلستریک به دلیل ساختار مارپیچی‌شان قادر به بازتاب نور هستند و طول موج انعکاسی نور وابسته به پای پیچ است. از طرفی پای پیچ کلستریک وابسته به غلظت آلاینده‌های کایرال می‌باشد [۲۲-۲۳]. از این‌رو افزودن آلاینده کایرال با

در رابطه فوق I_0 , ماکریم شدت نور فرودی و α زاویه چرخش صفحه قطبش می‌باشد. با اعمال میدان الکتریکی و القا دوشکستی در نمونه‌های بلورمایع شدت نور برابر است با:

$$I = I_0 \sin^2(\alpha + \frac{\delta}{2}) \quad 2$$

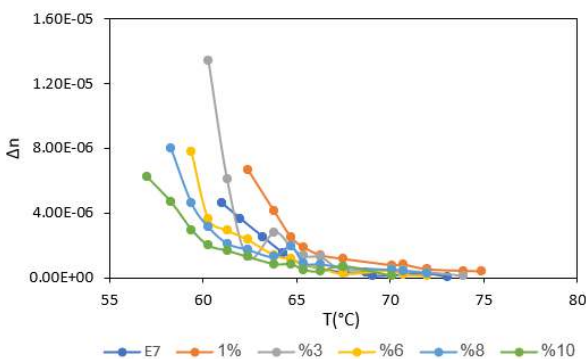
که در آن δ نشان‌دهنده اختلاف فاز ایجاد شده در حضور میدان الکتریکی اعمالی می‌باشد و مطابق با رابطه^۳ به α مربوط می‌شود [۲۴].

$$\alpha = \frac{\delta}{2} \quad 3$$

بدین ترتیب دوشکستی القا شده تحت اعمال میدان الکتریکی خارجی مطابق با رابطه^۴ به ثابت کر مربوط می‌شود.

$$B = \frac{n_{\parallel} - n_{\perp}}{\lambda E^2} \quad 4$$

در رابطه^۴, n_{\parallel} و n_{\perp} به ترتیب توصیف کننده ضرایب شکست موازی و عمود بر میدان اعمالی می‌باشند. مطابق با شکل^۵, اختلاف بین این دو ضریب شکست نشان‌دهنده دوشکستی القایی در سیستم می‌باشد. همچنین B نشان‌دهنده ثابت کر می‌باشد.



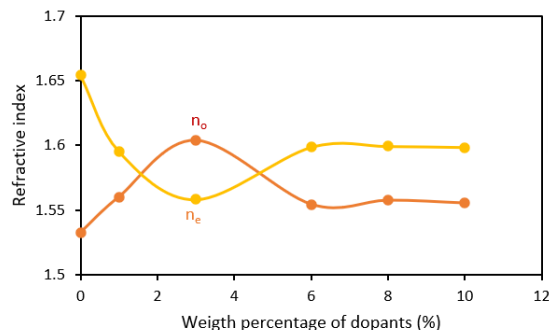
شکل ۵. تغییرات دوشکستی القایی توسط میدان الکتریکی بر حسب دما برای بلورهای مایع خالص و آلائیده.

اختلاف فاز القایی نیز می‌تواند به شرح زیر به ثابت کر مربوط شود [۲۴-۲۶]:

$$\delta = \frac{2\pi l v^2}{d^2} B \quad 5$$

مطالعه تأثیرگذار خواهد بود. وابسته به نوع برهم‌کنش غالب، با تغییر درصد وزنی ماده کایرال راستگرد، تغییرات متفاوتی در پارامتر نظم بلورمایع نماتیک مورد مطالعه ایجاد خواهد شد. مطابق شکل^۴, برای بلورمایع با ۳ درصد وزنی از ماده کایرال راستگرد تغییرات ایجاد شده در پارامتر نظم به واسطه برهم‌کنش‌های بین مولکولی بیشتر از حالات دیگر می‌باشد.

به علاوه، ضریب شکست عادی برای بلورمایع خالص، با افزایش دما روندی افزایشی داشته است در حالی که چنین روندی در نمونه‌های آلائیده شده مشاهده نمی‌شود. رفتار ذکر شده نیز می‌تواند به دلیل تغییر ایجاد شده در نظم ساختاری بلورمایع نماتیک با افزودن ماده کایرال می‌باشد.

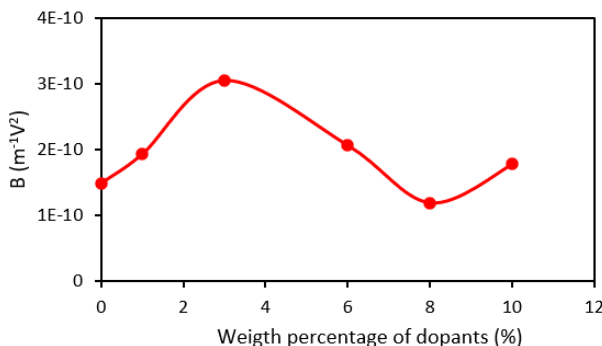


شکل ۴. تغییرات ضرایب شکست عادی و غیرعادی بر حسب درصد ماده راستگرد افزوده شده به بلورمایع نماتیک.

به منظور بررسی دقیق این رفتار نامنظم با افزایش درصد وزنی ماده کایرال راستگرد، پاسخ نوری نمونه‌های خالص و آلائیده تحت تأثیر میدان خارجی نیز مورد بررسی قرار گرفت. به همین منظور مطابق با چیدمان تجربی نشان داده شده در شکل^۲, روش شدت ختنی مورد استفاده قرار گرفت. در این حالت بدون اعمال میدان خارجی شدت میدان نور فرودی برابر است با [۲۴-۲۵]:

$$I = I_0 \sin^2 \alpha \quad 1$$

راستگرد به دست آمد. در واقع این رفتار غیر عادی را می‌توان به دلیل حضور برهم‌کنش‌های متفاوت مولکولی با تغییر در صد وزنی ماده راستگرد افزوده شده در نظر گرفت.



شکل ۷. تغییرات ثابت کر بر حسب میزان درصد وزنی ماده راستگرد افزوده شده در دماهای نزدیک به دمای گذار.

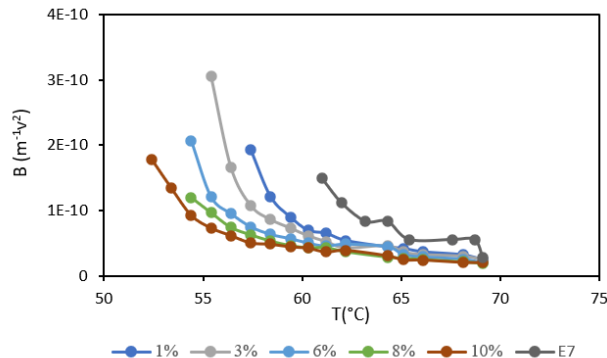
در حالت کلی هر یک از این برهم‌کنش‌ها می‌توانند سه‌هم‌های مختلف در رفتار نوری بلورمایع‌های مورد مطالعه تحت تأثیر میدان الکتریکی اعمالی داشته باشند. در درصدهای پایین، برهم‌کنش‌های بین مولکول‌های راستگرد قابل صرف‌نظر کردن است. در این حالت برهم‌کنش‌های بین مولکول‌های بلورمایع نماییک با سه‌هم غالب نقش مهمی در ویژگی‌های فیزیکی بلورمایع ایفا می‌کنند. با افزایش درصد وزنی ماده کایرال، سه‌هم برهم‌کنش‌های بین مولکول‌های کایرال با یکدیگر افزایش و در نهایت منجر به کاهش ثابت کر بلورمایع‌های آلائیده می‌شوند. در واقع رقابت بین برهم‌کنش‌های مختلف مولکولی با سه‌هم‌های مختلف با تغییر درصد وزنی ماده کایرال می‌تواند منجر به تغییر در پارامتر نظم و قطبش‌پذیری مولکولی گردد. مطابق با نتایج به دست آمده می‌توان گفت، برای بلورمایع‌های آلائیده شده با ۳٪ از ماده کایرال، برهم‌کشن‌های مختلف مولکول تمایل به تقویت پارامتر نظم مولکولی را دارند. بدین ترتیب با افزودن ماده راستگرد با درصد وزنی مشخص به بلورمایع نماییک

همچنین با توجه به روابط فوق می‌توان رابطهٔ ۵ را به شکل زیر نوشت:

$$\alpha = \frac{\pi lB}{2d^2} v^2 = \frac{\pi lB}{2} E^2 \quad ۶$$

در روابط فوق v ، d و E به ترتیب ولتاژ مؤثر، فاصله بین الکتروودها و طول راه نوری هستند.

بدین ترتیب با رسم منحنی تغییرات α بر حسب E^2 می‌توان ثابت کر نمونه‌های بلورمایع تهیی شده را به دست آورد. نتایج به دست آمده در شکل ۶ نشان داده شده است.



شکل ۶. تغییرات ثابت کر بلورمایع‌های خالص و آلائیده در دماهای مختلف.

مطابق نتایج به دست آمده، مقادیر ثابت کر وابسته به دما و میزان ماده راستگرد آلائیده شده می‌باشد. وابستگی دمایی ثابت کر از یک روند منظم پیروی می‌کند. با افزایش دما مقادیر ثابت کر روند نزولی از خود نشان می‌دهد.

در این حالت، مقادیر بالای ثابت کر مربوط به دماهای نزدیک به دمای گذار می‌باشد. با وجود یک روند منظم با افزایش دمای سللهای نمونه‌های بلورمایع، روند منظمی با تغییر درصد وزنی ماده افزوده شده به بلور مایع نماییک مشاهده نمی‌شود. همان‌طوری که در شکل ۷ نشان داده شده است، در این حالت بیشترین مقدار ثابت کر برای نمونه‌های حاوی ۳٪ از ماده

مرجع‌ها

- [1] I.C. Khoo, Liquid crystals, John Wiley & Sons, 2022.
- [2] P. Raynes, Liquid Crystals, Second Edition, Cambridge University Press, 1992.
- [3] S. Gauz, X. Zhu, W. Piecek, R. Dabrowski, S.T. Wu, Fast Switching Liquid Crystals for Color-Sequential LCDs, *Journal of Display Technology*, 3 (2007) 250-252.
<https://doi.org/10.1109/JDT.2007.900909>
- [4] A. Hussain, A.S. Pina, A.C.A. Roque, Bio-recognition and detection using liquid crystals, *Biosensors and Bioelectronics*, 25 (2009) 1-8.
<https://doi.org/10.1016/j.bios.2009.04.038>
- [5] S.E. Robinson, B.A. Grinwald, L.L. Bremer, K.A. Kupcho, B.R. Acharya, P.D. Owens, A Liquid Crystal-Based Passive Badge for Personal Monitoring of Exposure to Hydrogen Sulfide, *Journal of Occupational and Environmental Hygiene*, 11 (2014) 741-750.
<https://doi.org/10.1080/15459624.2014.916808>
- [6] O. Pishnyak, S. Sato, O.D. Lavrentovich, Electrically tunable lens based on a dual-frequency nematic liquid crystal, *Applied Optics*, 45 (2006) 4576-4582.
<https://doi.org/10.1364/AO.45.004576>
- [7] H.V.J. Masterson, G.D. Sharp, K.M. Johnson, Ferroelectric liquid-crystal tunable filter, *Optics Letters*, 14 (1989) 1249-1251.
<https://doi.org/10.1364/OL.14.001249>
- [8] P. Kumar, S.W. Kang, S.H. Lee, Advanced bistable cholesteric light shutter with dual frequency nematic liquid crystal. *Optical Materials Express*, 2 (2012) 1121-1134.
<https://doi.org/10.1364/OME.2.001121>
- [9] M. Mitov, Cholesteric Liquid Crystals with a Broad Light Reflection Band,

می‌توان پاسخ نوری آن را تحت تأثیر میدان‌های خارجی تقویت نمود. همچنین، یک مقایسه بین نتایج تجربی به‌دست آمده از این پژوهش با کارهای پژوهشی صورت گرفته [۲۴-۲۶] نشان می‌دهد که آلائیدن بلورمایع خالص با مواد کایرال منجر به افزایش ثابت کر آن می‌شود. همچنین بررسی نتایج حاصل از این پژوهش و کارهای قبلی نشان می‌دهد که راستگرد و چپگرد بودن ماده کایرال و ساختار آن تأثیر قابل توجهی بر روی نتایج به‌دست آمده دارد. در این حالت با افزودن ۴ درصد وزنی از ماده کایرال چپگرد به بلورمایع نماتیک خالص موجب تقویت پاسخ الکتروپاتیکی به ۲۰ برابر مقدار آن نسبت به بلورمایع خالص گردید. از این‌رو می‌توان با انتخاب مناسب ماده کایرال افروده شده به بلورمایع نماتیک پاسخ الکتروپاتیکی آن را کترل نمود.

نتیجه‌گیری

در این کار تجربی رفتار نوری بلورمایع نماتیک E7 خالص و آلائیده شده با ماده کایرال راستگرد تحت تأثیر دمای مختلف مورد مطالعه و بررسی قرار گرفت. بهمین منظور ضرایب شکست عادی و غیرعادی و ثابت کر بلورمایع خالص و آلائیده شده به‌ماده راستگرد مورد بررسی قرار گرفت. مطابق نتایج به‌دست آمده دما و میزان ماده راستگرد اضافه شده به عنوان پارامتری مهم نقش قابل توجهی در عملکرد بلورمایع نماتیک مورد مطالعه دارد. در این حالت افزایش دما منجر به کاهش ضرایب شکست غیر عادی و ثابت کر می‌شود. به طوری که با نزدیک شدن به‌دامای گذار میزان پاسخ ماده موردن مطالعه تقویت می‌شود. در این حالت میزان ثابت کر بلورمایع آلائیده با ماده راستگرد حدود ۲ برابر بزرگتر نسبت به بلورمایع خالص می‌باشد. بیشترین تغییرات مربوط به بلورمایع آلائیده با ۳٪ از ماده راستگرد می‌باشد.

- <https://doi.org/10.1016/j.molliq.2016.12.108>
- [17] H. Khoshima, H. Tajalli, A. Ghnadzadeh Gilani, R. Dabrowski, Electro-optical Kerr effect of two high birefringence nematic liquid crystals. *Journal of Physics D: Applied Physics*, 39 (2006) 1495. <https://doi.org/10.1088/0022-3727/39/8/007>.
- [18] M. Fiaz, M. Beevers, Kerr constant of poly (N-vinylcarbazole), *European Polymer Journal*, 36 (2000) 1943-1950. [https://doi.org/10.1016/S0014-3057\(99\)00248-7](https://doi.org/10.1016/S0014-3057(99)00248-7)
- [19] A.G. Gilani, H. Tajalli, E. Vahedi, Kerr effect studies on mixtures of the two tolane base liquid crystals, *Molecular Crystals and Liquid Crystals*, 502 (2009) 99-108. <https://doi.org/10.1080/15421400902815795>.
- [20] M.S. Beevers, G. Khanarian, Measurement of Kerr constants of conducting liquids, *Australian Journal of Chemistry*, 32 (1979) 263-269. <https://doi.org/10.1071/CH9790263>
- [21] A. Ranjkesh, S. kiani, O. Strzezysz, M.S. Zakerhamidi, T.H. Yoon, Optical anisotropy, order parameter and its critical behavior in temperature-dependent refractive indices of nematic liquid crystals, *Journal of Molecular Liquids*, 268 (2018) 536-544. <https://doi.org/10.1016/j.molliq.2018.07.089>
- [22] M. Khadem Sadigh, P. Naziri, M.S. Zakerhamidi, A. Ranjkesh, T.H. Yoon, Temperature dependent features of polymer stabilized cholesteric liquid crystals based on selected liquid crystal characteristics, *Optik*, 230 (2021) 166354. <https://doi.org/10.1016/j.ijleo.2021.166354>
- [23] M. Khadem Sadigh, P. Naziri, A. Ranjkesh, M.S. Zakerhamidi, Relationship of pitch length of cholesteric liquid crystals with order parameter and normalized polarizability, *Optical Materials*, 119 Advanced materials, 24 (2012) 6260-6276. <https://doi.org/10.1002/adma.201202913>
- [10] H. Khandelwal, A.P. Schenning, M.G. Debije, Infrared regulating smart window based on organic materials, *Advanced Energy Materials*, 7 (2017) 1602209. <https://doi.org/10.1002/aenm.201602209>
- [11] A. Maleki, M.H. Majles Ara, Z. Mousavi, M. Rafiee, Z. Dehghani, S. Mohajer, Electro-optical Kerr effect of azo-dye-doped liquid crystals using nulled intensity method, *Phase Transitions*, 2016. 89 (2016) 1137-1145. <https://doi.org/10.1080/01411594.2016.1150472>
- [12] S. Kiani, M. Zakerhamidi, H. Tajalli, Hydrogen bonding intermolecular effect on electro-optical response of doped 6PCH nematic liquid crystal with some azo dyes, *Optical Materials*, 55 (2016) 121-129. <https://doi.org/10.1016/j.optmat.2016.03.019>
- [13] S. Friberg, P. Smith, Nonlinear optical glasses for ultrafast optical switches, *IEEE journal of quantum electronics*, 23 (1987) 2089-2094. <https://doi.org/10.1109/JQE.1987.1073278>
- [14] M. Khadem Sadigh, M. Zakerhamidi, Third order nonlinear responses of Basic Blue 55 molecules in polar solvents, *Optik*, 130 (2017) 743-749. <https://doi.org/10.1016/j.ijleo.2016.10.134>
- [15] M. Khadem Sadigh, M. Zakerhamidi, Media polarity and concentration roles on the third order nonlinear behaviors of thiazine dyes, *Optics & Laser Technology*, 100 (2018) 216-224. <https://doi.org/10.1016/j.optlastec.2017.10.007>
- [16] M. Khadem Sadigh, M.S. Zakerhamidi, B. Rezaei, K. Milanchian, Environment effects on the nonlinear absorption properties of Methylene blue under different power of excitation beam. *Journal of Molecular Liquids*, 229 (2017) 548-554.

-
- electro-optical nonlinear responses of doped nematic liquid crystals: Towards optoelectronic devices, Optics and Lasers in Engineering, 159 (2022) 107229.
<https://doi.org/10.1016/j.optlaseng.2022.107229>
- [26] M. Khadem Sadigh, A. Ranjkesh, B. Hayatifar, Improving the nonlinear electro-optical responses of doped nematic liquid crystals with chiral dopants, Optical Materials, 135 (2023) 113352.
<https://doi.org/10.1016/j.optmat.2022.113352>
- (2021) 111373.
<https://doi.org/10.1016/j.optmat.2021.111373>
- [24] A. Ranjkeh, Z. Alipanah, S. Kiani, M.S. Zakerhamidi, T.H. Yoon, A method to find the initial temperature range of the short-range order in the isotropic phase of nematic liquid crystals based on the electro-optical Kerr effect. Journal of Molecular Liquids, 274 (2019) 646-652.
<https://doi.org/10.1016/j.molliq.2018.11.028>
- [25] M. Khadem Sadigh, M.S. Zakerhamidi, A. Ranjkesh, Enhanced